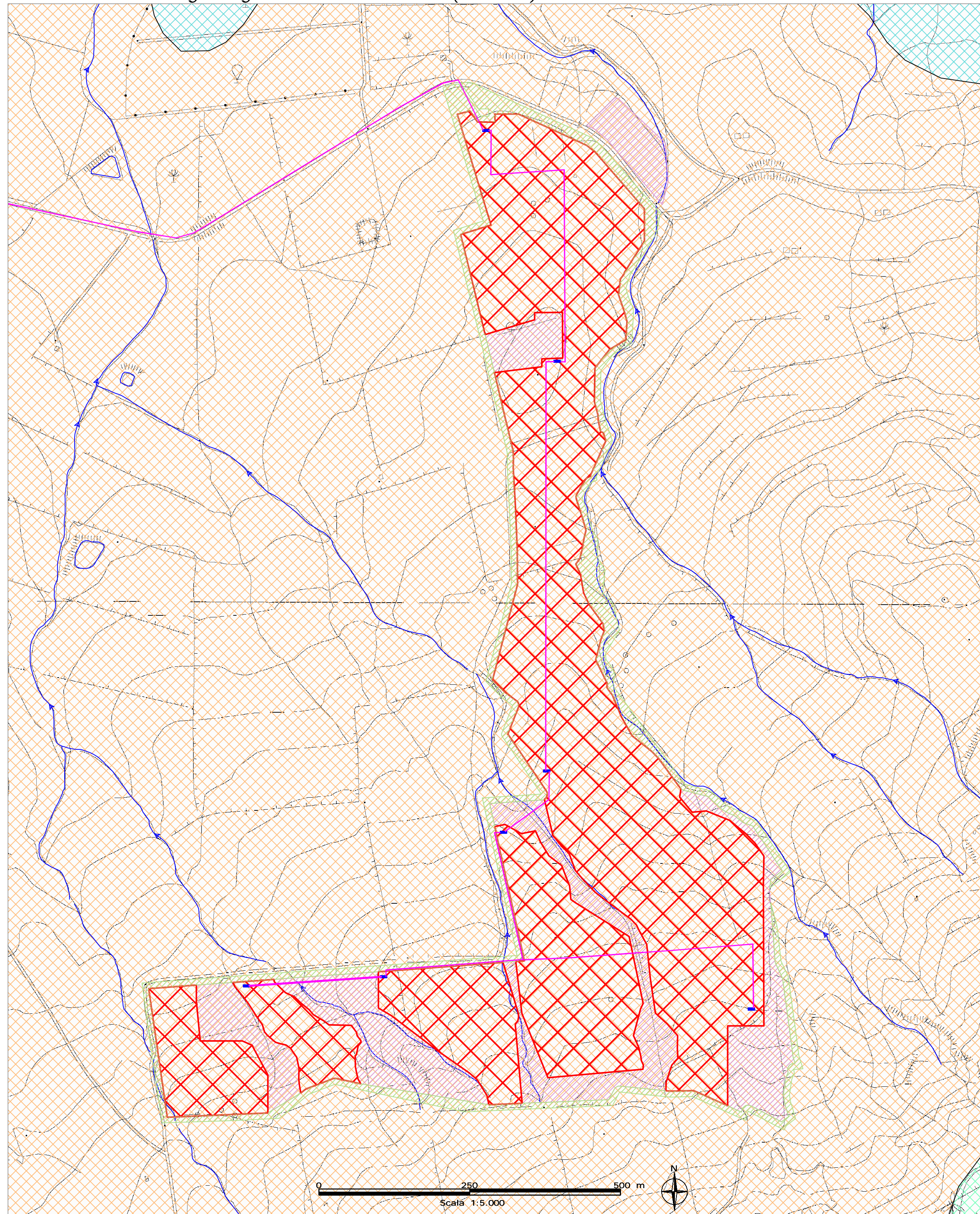


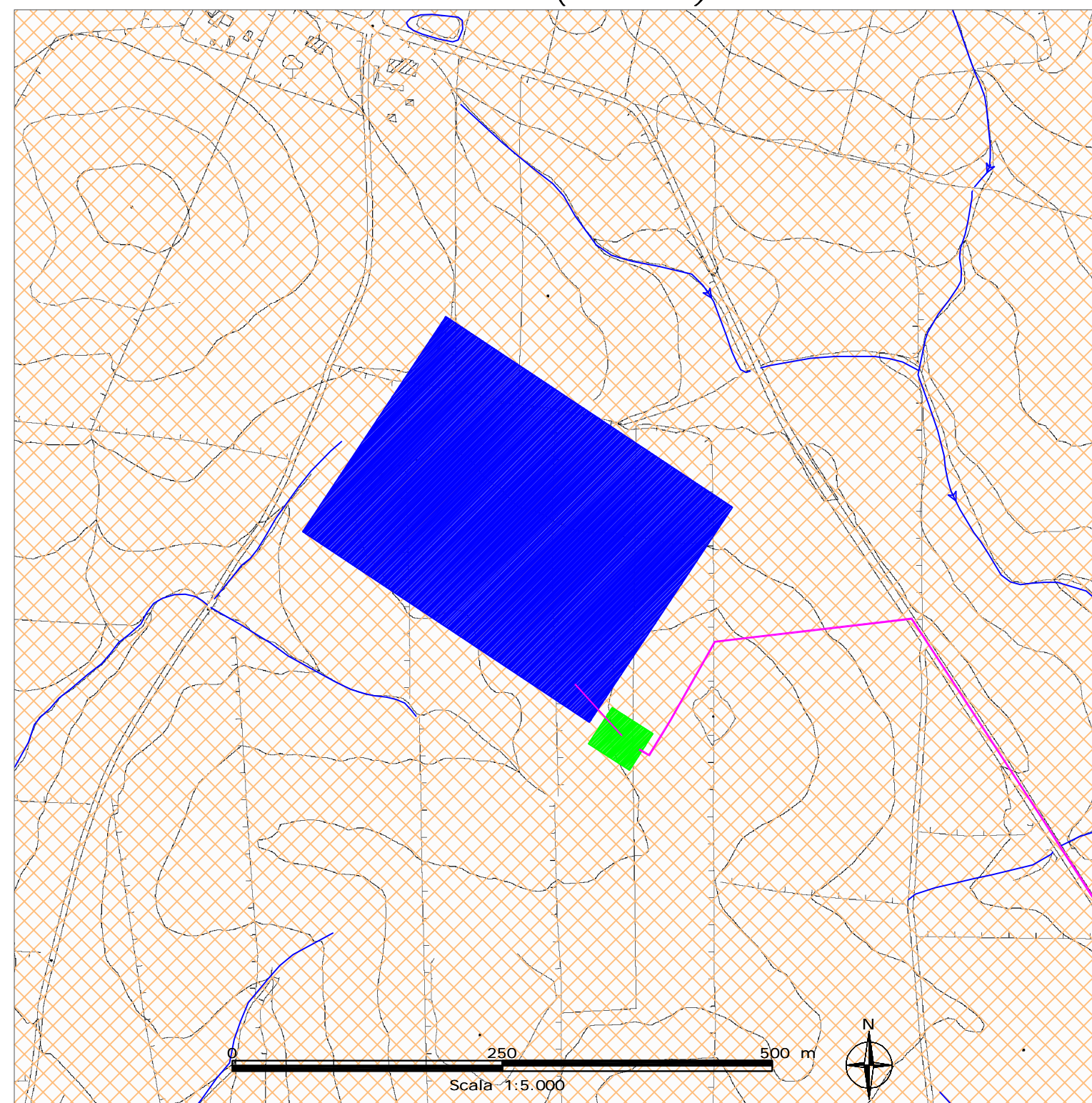
Tav.1: Corografia – Quadro d'unione (1:25000)



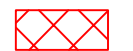


Tav.2: Carta Idrogeologica – Area Parco (1:5000)



Tav.3: Carta Idrogeologica Area Sottostazione Elettrica (1:5000)



LEGENDA:

-  Aree di progetto
-  Aree di compensazione ambientale e corridoi di vegetazione autoctona
-  Aree perimetrali di mitigazione
-  Stazione Terna
-  Cabina utente
-  Caviddoto

LEGENDA:

 **Complesso Idrogeologico I:**

**Terreni Impermeabili - Complesso Argilloso**

I terreni afferenti al Complesso Argilloso, sono da ritenersi *impermeabili*, in quanto tale complesso, anche se dotato di alta porosità primaria, è praticamente impermeabile a causa delle ridottissime dimensioni dei pori nei quali l'acqua viene fissata come acqua di ritenzione. Ne deriva una circolazione nulla o trascurabile. Inoltre, trattandosi di argilla, anche se coesiva, è comunque soggetta a fessurarsi e a richiudere rapidamente le discontinuità con un comportamento di tipo plastico. Nell'insieme, il complesso litologico è da considerarsi scarsamente permeabile, in quanto anche la permeabilità dei sabbiosi è del tutto controllata dalla frazione argillosa. Ad essi si può attribuire un valore del coefficiente di permeabilità dell'ordine di  $K = 10^{-7} \div 10^{-9}$  m/s.

 **Complesso Idrogeologico II:**


**Terreni Mediamente Permeabili - Complesso Calcareao**

I terreni afferenti al Complesso Calcareao (Litofacies Calcareae) hanno grado di permeabilità variabile da medio ad alto, principalmente in relazione allo stato di fratturazione. I depositi calcarei sono dotati di buona porosità primaria e la permeabilità, crescente in funzione del grado di fratturazione, è controllata dalla presenza di intercalazioni di argille brecciate. L'elevata porosità favorisce l'infiltrazione nel sottosuolo delle acque di precipitazione meteorica ed un veloce loro drenaggio in profondità, senza che però si possano instaurare pericolosi aumenti delle sovrappressioni neutre. Tale acqua, drenando in profondità garantisce l'alimentazione del sistema acquifero che, al contatto con il basamento impermeabile argilloso, dà luogo ad acquiferi modesti. Ad essi si può attribuire un valore del coefficiente di permeabilità dell'ordine di  $K = 10^{-3} \div 10^{-4}$  m/s.

 **Complesso Idrogeologico III:**

**Terreni Permeabili - Depositi Alluvionali**

Tali terreni risultano costituiti da materiale prevalentemente argilloso-limoso che fa da matrice ad uno scheletro ghiaioso. Il tutto si presenta rimaneggiato, caotico, privo di struttura e, quindi, eterogeneo ed anisotropo, sia da un punto di vista litologico che fisico-meccanico. I materiali di che trattasi, molto spesso si presentano come lenticiformi con la prevalenza o della frazione limo-argillosa o di quella ghiaiosa. Quindi, da un punto di vista idrogeologico si tratta di terreni caratterizzati da buona permeabilità pari a  $K = 10^{-2} \div 10^{-3}$  m/s.

 **Idrografia superficiale**



**PROGETTO PER LA REALIZZAZIONE DI UN PARCO AGRIVOLTAICO E DELLE RELATIVE OPERE DI CONNESSIONE ALLA RTN**

Comune di Mineo  
Località: "Masseria Modichella" e "Contrada Mongialino"

**A. PROGETTO DEFINITIVO DELL'IMPIANTO, DELLE OPERE CONNESSE E DELLE INFRASTRUTTURE INDISPENSABILI**

ELABORATI GRAFICI

Codice: **RMCO2** Autorizzazione Unica ai sensi del D.Lgs 387/2003 e D.Lgs 152/2006

N° elaborato: **A.12 a.10** CARTA IDROGEOLOGICA

N° Foglio	Tot. Fogli	Formato	Scala	Tipo di documento
1	1	A0	1 : 5.000	Progetto Definitivo

**Progettazione**

**Qair**  
Italia

**Proponente**

**ITS Medora**  
ITS MEDORA srl  
Via Sebastiano Catania n. 317  
95123 CATANIA (CT)  
PIVA 05767670879

**Rappresentante legale proponente**

**Emmanuel MACQUERON**

**Data**

10 ottobre 2022

**Progettisti**

Ing. Vassalli Quirino Ing. Speranza Carmine Antonio



**Consulenza GEOLOGICA:**

**GEO** Studio di Geologia e Geolinguistica  
Via del Seminario Maggiore 35  
85100 POTENZA

Dott. Geol. Antonio De Carlo



Revisori	Rev.	Data	Descrizione	Elaborato	Controllato	Approvato
	00	10/2022	Emissione	De Carlo	GV/AS/GR	GI